



บทที่ 2

การทดลองที่ 2

จุดประสงค์

เพื่อศึกษาพัฒนาระบบ PTCR ของสารประกอบ donor doped BaTiO₃ ที่อัดเม็ดด้วยแรงอัดต่างกัน

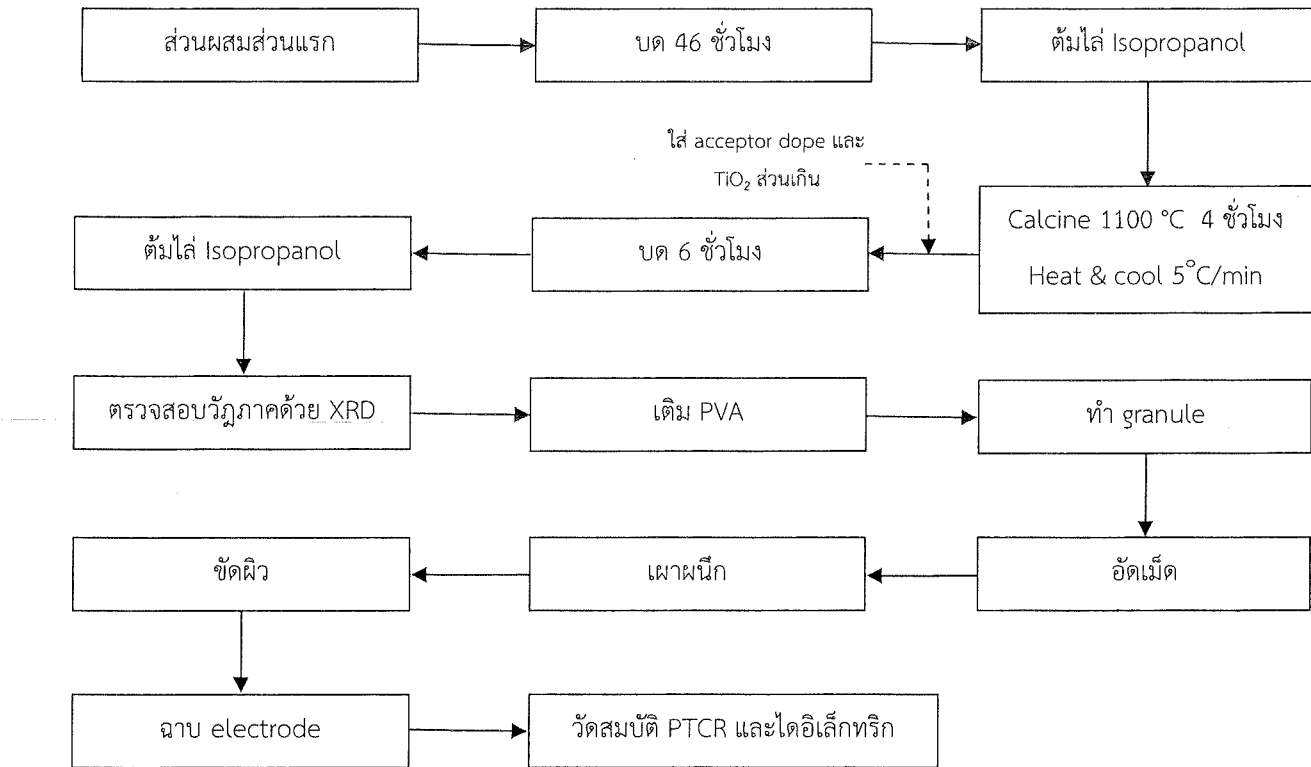
ความเป็นมา

Park และคณะ^{10, 12} และ Kim¹¹ รายงานว่าชิ้น PTCR ที่มีความพรุนตัวสูงจะมีสมบัติ PTCR มากกว่าชิ้น PTCR ที่มีความพรุนตัวต่ำ การทดลองนี้จึงทดลองอัดเม็ดชิ้นตัวอย่างด้วยแรงอัดขนาดต่างๆ กัน เพราะการใช้แรงอัดน้อยจะทำให้ได้ชิ้นตัวอย่างที่มีความพรุนตัวสูงและการใช้แรงอัดมากจะทำให้ได้ชิ้นตัวอย่างที่มีความพรุนตัวต่ำ

จากเอกสารอ้างอิงบางฉบับแนะนำให้เติม Mn²⁺ ไอออน เพื่อกระตุ้นให้เพิ่มสมบัติ PTCR นั้นควรเติมไปหลังจากใส่ donor ion เข้าไป dope BaTiO₃ เรียบร้อยแล้ว ดังนั้นในการทดลองนี้จึงเติม MnO₂ เข้าไปภายหลังจากเติม donor ions เข้าไปใน BaTiO₃ แล้ว นอกจากนี้ยังเติม TiO₂ ที่ใส่เข้าไปช่วยในการเผาผนึกในภายหลังด้วย

วิธีการทดลอง

ต่างกันกับการทดลองที่ 1 เล็กน้อยดังแสดงในรูปที่ 33 กล่าวคือตอนใส่ส่วนผสมไปบดผสมจะแยกใส่สองครั้ง ครั้งแรกจะใส่เฉพาะวัตถุที่เป็นโครงสร้างหลักของ BaTiO₃ และวัตถุที่ใช้เป็น donor dope เข้าไปก่อน ดังนั้นครั้งแรกจะใส่ BaCO₃, TiO₂ และ donor doped ion ซึ่งจะเป็น Sb₂O₃ หรือ La₂O₃ หรือ Nb₂O₅ เท่านั้น จากนั้นกับด้วยวัตถุที่ใส่เข้าไปครั้งแรก 46 ชั่วโมง แล้วต้มໄล' isopropanol และเผา calcine เมื่อการทดลองที่ 1 หลังจาก calcine แล้วจึงเติมสารที่ใส่ไปกระตุ้นเพิ่มสมบัติ PTCR คือ MnO₂ และสารที่ใส่ไปช่วยในการเผาผนึกคือ TiO₂ เข้าไป นำของผสมไปบดผสม 6 ชั่วโมง แล้วต้มໄล' isopropanol และเติม PVA และอัดเม็ดเหมือนกับการทดลองที่ 1 แต่เวลาอัดเม็ดในการทดลองนี้ใช้แรงอัด 5000, 6000, 7000, 8000 และ 9000 ปอนด์ กดอัดบนแม่แบบรูปทรงกระบอกเส้นผ่านศูนย์กลาง 16 มม. เมื่อคำนวณเป็นแรงตันในการอัดจะได้ 1130, 1357, 1583, 1808 และ 2034 กก./ซม.² หรือแปลงเป็นหน่วย MPa ได้เท่ากับ 111, 133, 155, 177 และ 199 MPa ต่อจากนั้นนำไปเผาผนึกที่อุณหภูมิ 1300 °C และขัดผิวและฉบับโลหะตัวนำเหมือนการทดลองที่ 1 และวัดสมบัติโดยอิเล็กทริกและสมบัติ PTCR ด้วยวิธีเดียวกับการทดลองที่ 1

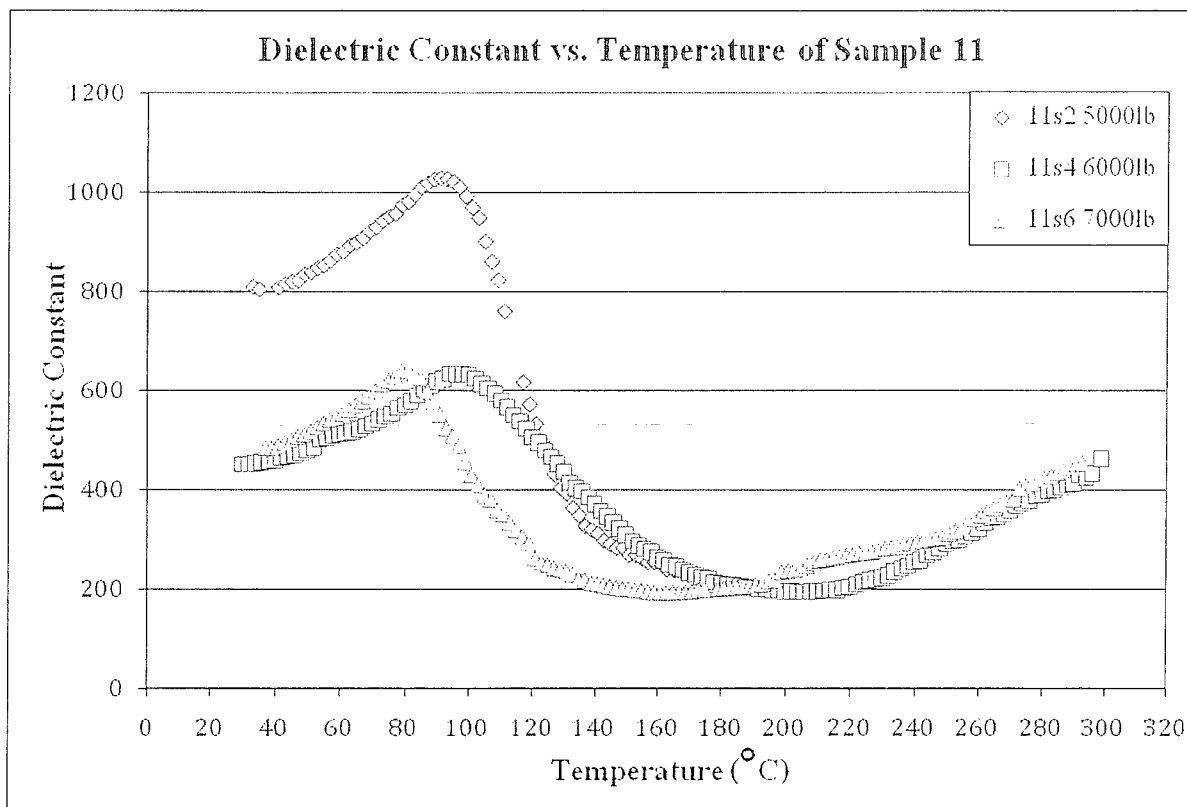


รูปที่ 33 วิธีการทดลองในการทดลองที่ 2

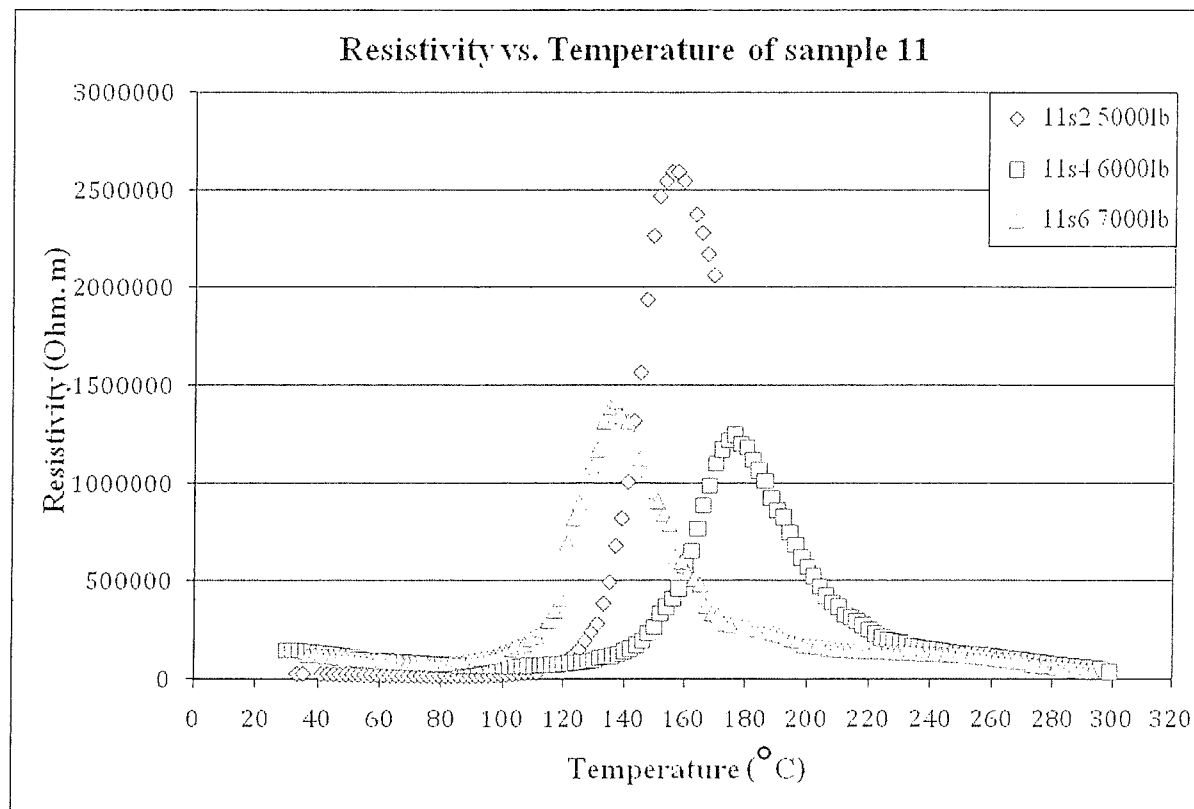
ผลการทดสอบ

รูปที่ ค13-ค30 แสดงกราฟ X-ray diffraction ของ PTCR สูตร 11-13 ซึ่งอัดเม็ดด้วยแรงอัดต่างกัน แต่เผาผนังที่อุณหภูมิเดียวกันคือ 1300 °C จากกราฟจะเห็นได้ว่า PTCR สูตรเดียวกันซึ่งอัดเม็ดด้วยแรงอัดต่างกันมีกราฟ X-ray diffraction ต่างกันไม่มาก แสดงว่าการเปลี่ยนแปลงแรงอัดเม็ดไม่ทำให้วัสดุภาคที่เกิดขึ้นต่างกันมากนัก

รูปที่ 34 และรูปที่ 35 แสดง K' และ ρ ที่อุณหภูมิต่างๆ ของ PTCR สูตร 11 ซึ่งอัดเม็ดด้วยแรงตัน 5000, 6000 และ 7000 ปอนด์ ซึ่งเผาเผนกที่ 1300°C จากรูปที่ 34 จะเห็นว่ากราฟ K' ของ PTCR สูตร 11 ใน การทดลองนี้มีลักษณะแตกต่างจากการ PTCR สูตร 11 ใน การทดลองที่ 1 (รูปที่ 13) ซึ่งอัดเม็ดด้วย แรงอัด 9000 ปอนด์ เพราะที่แรกๆ เมื่อเพิ่มอุณหภูมิจากอุณหภูมิห้องขึ้นไป K' มีค่าเพิ่มขึ้นสูงกว่าเดิม เล็กน้อย กล่าวคือเพิ่มขึ้นไปประมาณ 200 ต่อจากนั้น K' ก็จะมีค่าลดลง เช่น K' ของชิ้นตัวอย่างที่อัดด้วย แรงตัน 6000 และ 7000 ปอนด์ มีค่าประมาณ 420 ที่อุณหภูมิห้อง เมื่อเพิ่มอุณหภูมิขึ้นไป K' ก็จะมีค่า เพิ่มขึ้นช้าๆ จนกระทั่งมีค่าประมาณ 600 ต่อจากนั้น K' จะมีค่าลดลงเรื่อยๆ ก่อนที่จะมีค่าเพิ่มขึ้นอีก เล็กน้อยอยอย่างช้าๆ เมื่อเทียบรูปที่ 34 กับรูปที่ 13 จะเห็นได้ว่า PTCR สูตร 11 ของการทดลองที่ 2 จะแสดง พฤติกรรมความเป็นวัสดุเฟอร์โรอิเล็กทริกน้อยกว่า PTCR สูตรเดียวกันใน การทดลองที่ 1 เพราะว่ากราฟ K'



รูปที่ 34 ค่าคงที่ไดอิเล็กทริกของ PTCR สูตร 11 ซึ่งอัดเม็ดด้วยแรงดัน 5000-7000 ปอนด์ เผาNeilกที่ 1300°C

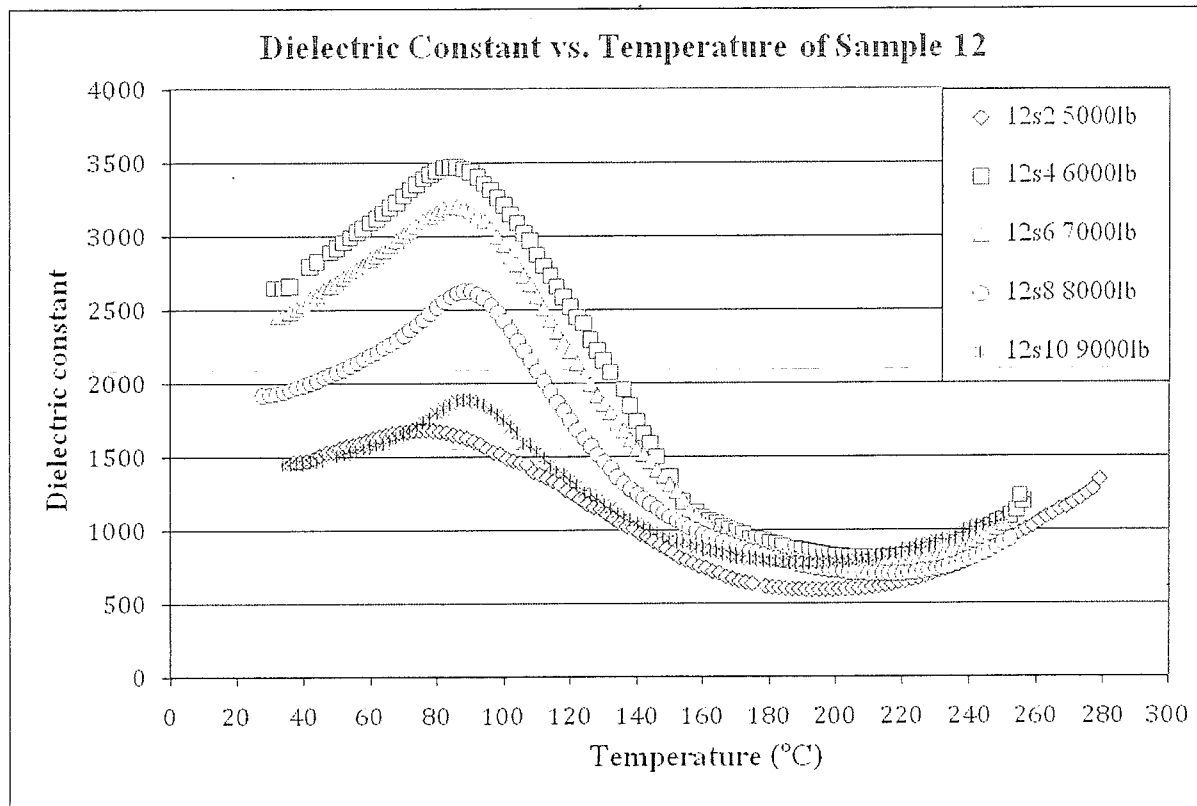


รูปที่ 35 สภาพความต้านทานของ PTCR สูตร 11 ซึ่งอัดด้วยแรงดัน 5000-7000ปอนด์ เผาNeilกที่ 1300°C

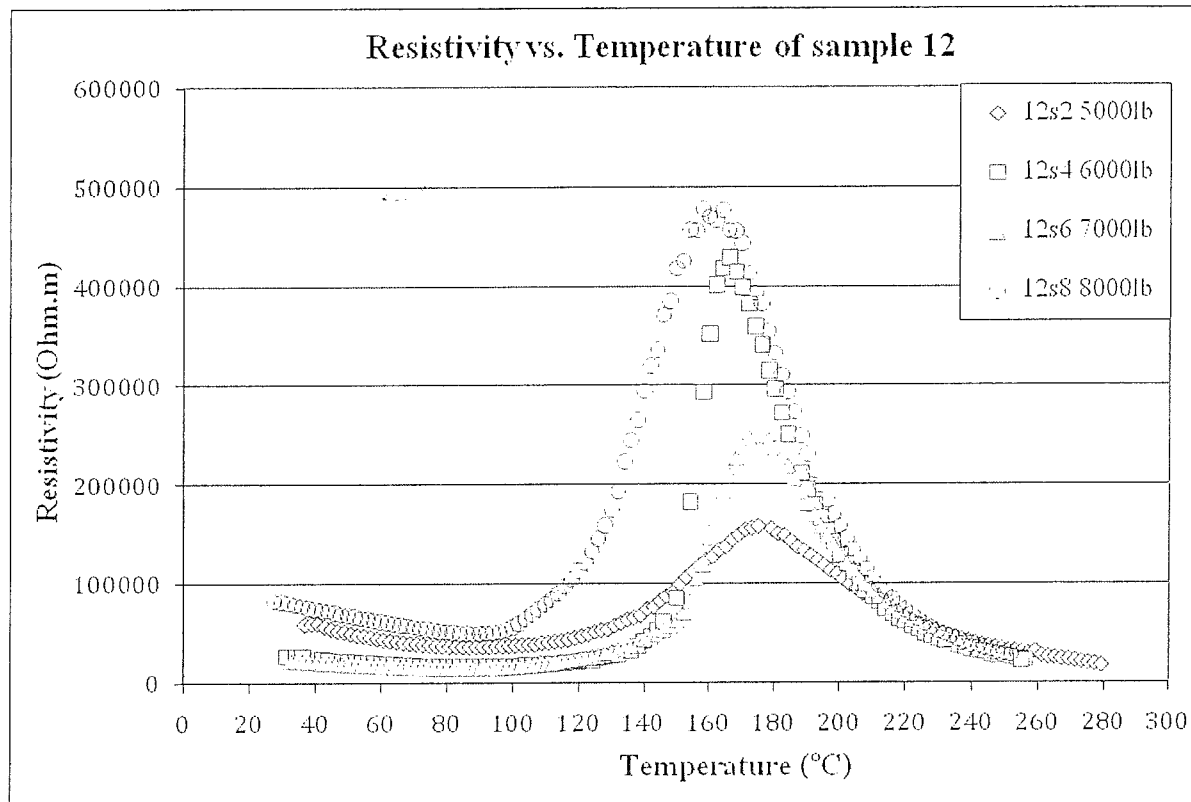
ของ PTCR ในการทดลองที่ 1 มี peak ที่เกิดจากการเปลี่ยนสมบัติจากเฟอร์โรอิเล็กทริกไปเป็นพาราอิเล็กทริก อย่างชัดเจนขณะที่ PTCR ในการทดลองที่ 2 ไม่มี peak

จากรูปที่ 35 จะเห็นว่า PTCR สูตร 11 ในการทดลองที่ 2 จะแสดงพฤติกรรม PTCR มากกว่า PTCR สูตรเดียวกันในการทดลองที่ 1 โดยเฉพาะอย่างยิ่งสูตร 11 ที่อัดเม็ดด้วยแรงอัด 5000 ปอนด์ในการทดลองที่ 2 มีอัตราส่วนของ maximum ρ ต่อ minimum ρ ประมาณ 130 เท่า (เพราะ maximum ρ มีค่าประมาณ 2,600,000 Ohm.meter และ minimum ρ มีค่าประมาณ 19,000 Ohm.meter) ขณะที่สูตร 11 ที่อัดด้วยแรงอัด 6000 และ 7000 ปอนด์ มี maximum ρ ต่อ minimum ρ ประมาณ 33 เท่านั้น ผลการทดลองนี้ สอดคล้องกับงานของ Park^{10,12} และ Kim¹¹ ซึ่งอธิบายว่าสุด PTCR ที่มีความพรุนตัวสูงกว่าจะแสดงสมบัติ PTCR ได้ดีกว่า ทั้งนี้ผู้เขียนคิดว่าอาจจะเป็นเพราะรูปรุนในขั้นตัวอย่างทำให้ประจุไฟฟ้าเคลื่อนที่ได้น้อยลง ดังนั้นความต้านทานของขั้นตัวอย่างจึงสูงขึ้น ทำให้ขั้นตัวอย่างที่อัดเม็ดด้วยแรงดันต่างๆ (5000 ปอนด์) มี PTCR jump (ซึ่งหาได้จาก maximum ρ สูงสุดหรือด้วย minimum ρ) มาก อนึ่งเมื่อเปรียบเทียบรูปที่ 34 และ 35 จะเห็นว่าอุณหภูมิที่ขั้นตัวอย่างมี K' สูงสุดเป็นอุณหภูมิเดียวกันกับอุณหภูมิที่ ρ ของขั้นตัวอย่างเริ่มค่อยๆเพิ่มขึ้นไปอย่างรวดเร็ว ทำนองเดียวกันกับที่พบในผลการทดลองของขั้นตัวอย่างสูตรที่ 13 ซึ่งผ่านนีกที่ 1400 และ 1450 °C ใน การทดลองที่ 1 ซึ่งเป็นไปตามทฤษฎีของ Heywang^{1-2, 9} Daniels^{5,7} และ Jonker^{3,6,9} ที่อธิบายว่าสุดไดอิเล็กทริกจะเริ่มแสดงพฤติกรรม PTCR เมื่อสุดไดรับความร้อนจนมีอุณหภูมิเท่ากับ อุณหภูมิคูรี แสดงว่าการเปลี่ยนแปลงค่า ρ ของขั้นตัวอย่างที่อุณหภูมิคูรีจะมีผลสืบเนื่องมาจากการเปลี่ยนแปลง K' กับของขั้นตัวอย่างที่อุณหภูมิคูรี

รูปที่ 36 และ 37 แสดงค่า K' และ ρ ที่อุณหภูมิต่างๆ ของ PTCR สูตร 12 ซึ่งอัดเม็ดด้วยแรงดัน 5000, 6000, 7000, 8000 และ 9000 ปอนด์ ซึ่งผ่านนีกที่ 1300 °C จากรูปที่ 36 จะเห็นว่าрафะหว่าง K' กับอุณหภูมิของตัวอย่างสูตร 12 มีลักษณะเหมือนๆ กับрафของตัวอย่างสูตร 11 คือการเปลี่ยนแปลง K' ไม่มากและการเปลี่ยนแปลงเป็นอย่างค่อยเป็นค่อยไปมีไดเพิ่มขึ้นอย่างรวดเร็ว เพรากราฟไม่มี peak แผลมสูงมาก กราฟรูปที่ 36 มีลักษณะเหมือนกับกราฟ K' ของตัวอย่างสูตรเดียวกันที่อัดด้วยความดัน 9000 ปอนด์ และผ่านนีกที่อุณหภูมิเดียวกันคือ 1300 °C ใน การทดลองที่ 1 (รูปที่ 28) แสดงว่าการลดแรงดันที่ใช้ในการอัดเม็ดและการแยกเติม MnO_2 และ TiO_2 ภายหลังในการทดลองนี้มีผลต่อสมบัติเฟอร์โรอิเล็กทริกของ PTCR สูตร 12 ไม่มาก จากรูปที่ 37 จะเห็นว่า PTCR สูตร 12 ที่อัดเม็ดด้วยแรงดัน 5000, 6000, 7000 และ 8000 ปอนด์ ในการทดลองนี้มีพฤติกรรมความเป็น PTCR เพรา ρ มีค่าเพิ่มขึ้นหลายเท่าในช่วงอุณหภูมิ แคบๆ นักวิจัยเรียกอัตราส่วนระหว่าง ρ_{max} กับ ρ_{min} ว่า PTCR jump จากรูปที่ 37 จะเห็นได้ว่า PTCR สูตร 12 ที่อัดด้วยแรงดันต่างๆ มี PTCR jump ในช่วง 10-26 โดยที่ขั้นที่อัดด้วยแรงดัน 6000 ปอนด์มี PTCR jump สูงสุด และขั้นที่อัดด้วยแรงดัน 5000 ปอนด์มี PTCR jump ต่ำสุด สังเกตว่าขั้นตัวอย่างที่อัดด้วยแรงดันต่างๆ (5000 ปอนด์) ไม่ได้แสดงพฤติกรรม PTCR มากที่สุดเหมือนกับ PTCR สูตร 11 ของการทดลองนี้ แสดงว่า นอกจากความพรุนตัวแล้วน่าจะมีปัจจัยอื่นอีกที่ควบคุมพฤติกรรม PTCR ของขั้นตัวอย่าง



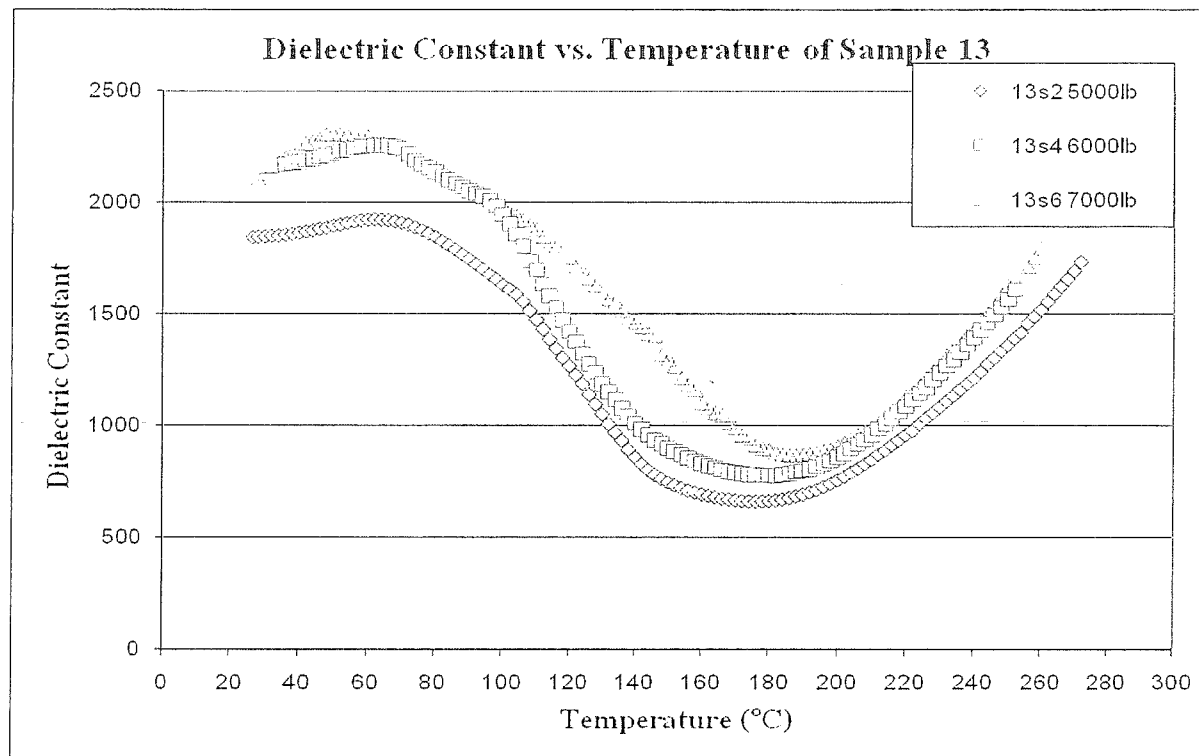
รูปที่ 36 ค่าคงที่ไดอิเล็กทริกของ PTCR สูตร 12 ซึ่งอัดเม็ดด้วยแรงดัน 5000-9000ปอนด์ เพาผนึกที่ 1300°C



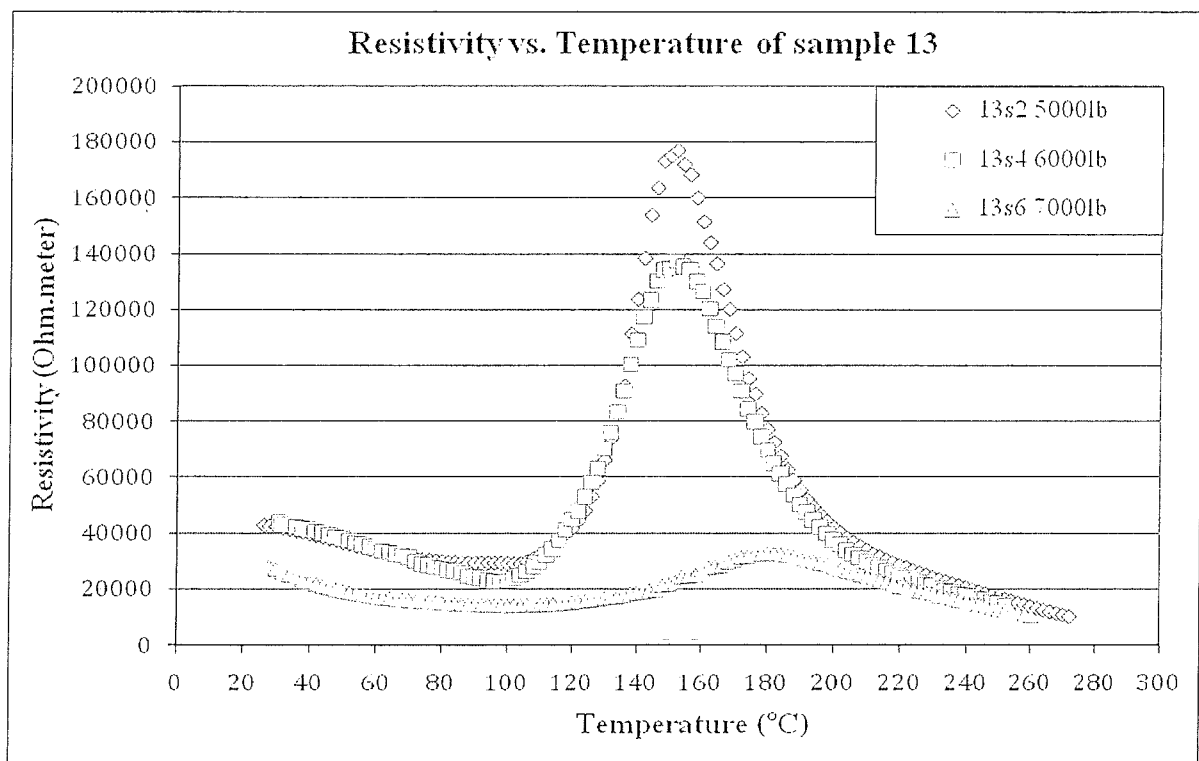
รูปที่ 37 สภาพความต้านทานของ PTCR สูตร 12 ซึ่งอัดด้วยแรงดัน 5000-7000ปอนด์ เพาผนึกที่ 1300°C

อนึ่งไม่สามารถวัด ρ ของชิ้นตัวอย่างที่อัดเม็ดด้วยแรงดัน 9000 ปอนด์ ในการทดลองนี้ได้ จึงไม่มีกราฟของ ρ ต่ออุณหภูมิของ PTCR สูตร 12 ที่อัดด้วยแรงดัน 9000 ปอนด์ ในการทดลองนี้ แต่คาดว่ากราฟที่ได้นำจะเหมือนกับเส้นกราฟ 12/5 1300 °C ใน รูปที่ 29 เพราะชิ้นตัวอย่างทั้งสองเตรียมขึ้นมาด้วยการอัดและเผาในสภาวะเดียวกัน

รูปที่ 38 และ 39 แสดง K' และ ρ ที่อุณหภูมิต่างๆ ของ PTCR สูตร 13 ซึ่งอัดเม็ดด้วยแรงดัน 5000, 6000 และ 7000 ปอนด์ แล้วเผาในที่ 1300°C จากรูปที่ 38 จะเห็นว่ากราฟ K' กับอุณหภูมิของ PTCR สูตร 13 ที่อัดด้วยแรงดัน 5000, 6000, 7000 ปอนด์ จะค่อนข้างเพิ่มขึ้นอย่างช้าๆ เมื่อได้อุณหภูมิเพิ่มขึ้นจากอุณหภูมิห้องเป็น 60 °C ต่อจากนั้นจะค่อยๆ ลดลงอย่างช้าๆ จึงทำให้จุดสูงสุดของกราฟแทบมองไม่ออกว่าเป็น peak ของกราฟเลย แสดงว่าอาจจะไม่เกิดการเปลี่ยนสมบัติเฟอร์โรอิเล็กทริกไปเป็นพาราอิเล็กทริกใน PTCR สูตร 13 ในช่วงอุณหภูมิที่ทดลอง นอกจากนี้มีข้อน่าสังเกตอีกอย่างจากรูปที่ 38 คือ K' ของ PTCR สูตร 13 ที่อัดด้วยแรงดันต่างกันมีค่าแตกต่างกันไม่มาก จากรูปที่ 39 จะเห็นว่า PTCR สูตร 13 ซึ่งอัดด้วยแรงดัน 5000 และ 6000 ปอนด์ แสดงสมบัติ PTCR ที่ดี เพราะว่า ρ ของตัวอย่างทั้งสองเพิ่มขึ้นอย่างรวดเร็ว เมื่ออุณหภูมิเพิ่มขึ้นถึงระดับหนึ่ง เมื่อเปรียบเทียบ ρ_{max} ต่อ ρ_{min} จะเห็นว่า PTCR ที่อัดด้วยแรงดัน 5000 ปอนด์ แสดงสมบัติ PTCR มากที่สุด เพราะมี ρ_{max} ต่อ ρ_{min} มากที่สุด คือ 18 เท่า รองลงมาเป็นขั้นตัวอย่างที่อัดด้วยแรงดัน 6000 ปอนด์ เพราะมี ρ_{max} ต่อ ρ_{min} หรือ PTCR jump ประมาณ 9 เท่า ส่วนขั้นตัวอย่างที่อัดด้วยแรงดัน 7000 ปอนด์ มี PTCR jump เพียง 3 เท่า ปกติแล้วขั้นตัวอย่างที่อัดด้วยแรงดันต่ำเมื่อนำไปเผาผนังจะมีความหนาแน่น้อยกว่าขั้นงานที่อัดด้วยแรงดันสูง ฉะนั้นขั้นตัวอย่างที่อัดด้วยแรงดันต่ำจึงมีความพรุนตัวสูง และเมื่อนำไปทำเป็น PTCR จึงได้ PTCR ที่มีความพรุนตัวมากจึงแสดงสมบัติ PTCR ได้มากกว่า PTCR ที่อัดด้วยแรงดันมากๆ อนึ่งเป็นที่น่าสังเกตว่าอุณหภูมิที่ ρ ของ PTCR สูตร 13 ในการทดลองนี้เริ่มมีค่าเพิ่มขึ้นอย่างรวดเร็วไม่ถูกหักกับอุณหภูมิที่ K' มีค่าสูงสุด นื้ออาจจะเป็นหลักฐานสำคัญที่ชี้ดัดว่าพกติกรรม PTCR ไม่จำเป็นต้องเกิดขึ้นต่อเมื่อวัสดุเปลี่ยนสมบัติจากเฟอร์โรอิเล็กทริกไปเป็นพาราอิเล็กทริกเสมอตามทฤษฎีของ Heywang, Jonker และ Daniels เสมอไปรูปที่ 38 และ 39 แสดง K' และ ρ ที่อุณหภูมิต่างๆ ของ PTCR สูตร 13 ซึ่งอัดเม็ดด้วยแรงดัน 5000, 6000 และ 7000 ปอนด์ แล้วเผาในที่ 1300°C จากรูปที่ 38 จะเห็นว่ากราฟ K' กับอุณหภูมิของ PTCR สูตร 13 ที่อัดด้วยแรงดัน 5000, 6000, 7000 ปอนด์ จะค่อนข้างเพิ่มขึ้นอย่างช้าๆ เมื่อได้อุณหภูมิเพิ่มขึ้นจากอุณหภูมิห้องเป็น 60 °C ต่อจากนั้นจะค่อยๆ ลดลงอย่างช้าๆ จึงทำให้จุดสูงสุดของกราฟแทบมองไม่ออกว่าเป็น peak ของกราฟเลย แสดงว่าอาจจะไม่เกิดการเปลี่ยนสมบัติเฟอร์โรอิเล็กทริกไปเป็นพาราอิเล็กทริกใน PTCR สูตร 13 ในช่วงอุณหภูมิที่ทดลอง นอกจากนี้มีข้อน่าสังเกตอีกอย่างจากรูปที่ 38 คือ K' ของ PTCR สูตร 13 ที่อัดด้วยแรงดันต่างกันมีค่าแตกต่างกันไม่มาก จากรูปที่ 39 จะเห็นว่า PTCR สูตร 13 ซึ่งอัดด้วยแรงดัน 5000 และ 6000 ปอนด์ แสดงสมบัติ PTCR ที่ดี เพราะว่า ρ ของตัวอย่างทั้งสองเพิ่มขึ้นอย่างรวดเร็วเมื่ออุณหภูมิเพิ่มขึ้นถึงระดับหนึ่ง เมื่อเปรียบเทียบ ρ_{max} ต่อ ρ_{min} จะเห็นว่า PTCR ที่อัดด้วยแรงดัน 5000 ปอนด์ แสดงสมบัติ PTCR มากที่สุด เพราะมี ρ_{max} ต่อ ρ_{min} มากที่สุด คือ 18 เท่า รองลงมาเป็นขั้นตัวอย่างที่อัดเม็ดด้วยแรงดัน 6000 ปอนด์ เพราะมี ρ_{max} ต่อ ρ_{min} หรือ PTCR jump



รูปที่ 38 ค่าคงที่ไดอิเล็กทริกของ PTCR สูตร 13 ซึ่งอัดเม็ดด้วยแรงดันต่างๆ กัน



รูปที่ 39 สภาพความต้านทานไฟฟ้าของ PTCR สูตร 13 ซึ่งอัดเม็ดด้วยแรงดันต่างๆ กัน

ประมาณ 9 เท่า ส่วนชิ้นตัวอย่างที่อัดด้วยแรงดัน 7000 ปอนต์ มี PTCR jump เพียง 3 เท่า ปกติแล้วชิ้นตัวอย่างที่อัดด้วยแรงดันต่ำเมื่อนำไปเผาเผานักจะมีความหนาแน่น้อยกว่าชิ้นงานที่อัดด้วยแรงดันสูง ฉะนั้นชิ้นตัวอย่างที่อัดด้วยแรงดันต่ำจะมีความพรุนตัวสูง และเมื่อนำไปทำเป็น PTCR จึงได้ PTCR ที่มีความพรุนต่ำมาก จึงแสดงสมบัติ PTCR ได้มากกว่า PTCR ที่อัดด้วยแรงดันมากๆ อนึ่งเป็นที่น่าสังเกตว่าอุณหภูมิที่ ρ ของ PTCR สูตร 13 ในการทำลองนี้เริ่มน้ำค่าเพิ่มขึ้นอย่างรวดเร็วไม่ถอยกลับอุณหภูมิที่ K' มีค่าสูงสุด นี้อาจจะเป็นหลักฐานสำคัญที่ชี้ดัดว่าพฤติกรรม PTCR ไม่จำเป็นต้องเกิดขึ้นต่อเมื่อวัสดุเปลี่ยนสมบัติจากเฟอร์โรอิเล็กทริกไปเป็นพาราอิเล็กทริกตามทฤษฎีของ Heywang, Jonker และ Daniels เมื่อไป

สรุปผลการทำลองที่ 2 จะเห็นว่า PTCR สูตร 11, 12 และ 13 ที่ผสมโดยแยกใส่ MnO_2 กับ TiO_2 ภายหลัง และอัดด้วยแรงดันต่ำลง แล้วเผาเผานิกที่ $1300^{\circ}C$ ของการทดลองนี้ส่วนใหญ่มี K' ต่ำกว่า K' ของ PTCR สูตรเดียวกันในการทดลองที่ 1 นอกจากนี้จะเห็นได้ว่ากราฟ K' ต่ออุณหภูมิของ PTCR ในการทดลองนี้ไม่มี peak ที่แสดงให้เห็นอุณหภูมิครืออย่างชัดเจนเท่ากับ PTCR สูตรเดียวกันในการทดลองที่ 1 แสดงว่า PTCR ของการทดลองนี้มีสมบัติเดียวกับการทดลองที่ 1 จากกราฟ ρ ต่ออุณหภูมิของ PTCR ในการทดลองนี้จะเห็นได้ว่า PTCR ในการทดลองนี้ส่วนใหญ่แสดงสมบัติ PTCR ได้มากกว่า PTCR สูตรเดียวกันในการทดลองที่ 1 โดยเฉพาะอย่างยิ่งขึ้นอย่างที่อัดด้วยแรงดันต่ำ (5000 และ 6000 ปอนต์) ซึ่งกีสอนคล่องกับผลการทำของ Park^{10,12} และ Kim¹¹ เป็นที่น่าสังเกตว่าอุณหภูมิที่ PTCR สูตร 11 และ 12 เริ่มแสดงพฤติกรรม PTCR (คือ ρ เริ่มน้ำค่าเพิ่มขึ้นอย่างรวดเร็ว) ตรงกันหรือใกล้เคียงกับอุณหภูมิครือของ PTCR ถึงแม้นว่ากราฟของ K' ที่อุณหภูมิตั้งกล่าวไม่ได้เป็นกราฟที่มี peak แหลมเด่นชัดก็ตาม แสดงว่าที่อุณหภูมิตั้งกล่าว PTCR สูตร 11 และ 12 อาจจะมีการเปลี่ยนแปลงสมบัติเฟอร์โรอิเล็กทริกไปเป็นพาราอิเล็กทริก อย่างไรก็ตามสำหรับ PTCR สูตร 13 อุณหภูมิที่วัสดุเริ่มแสดงพฤติกรรม PTCR มีค่าแตกต่างจากอุณหภูมิที่วัสดุมี K' สูงสุดมากนักจากนี้กราฟ K' ต่ออุณหภูมิของ PTCR ดังกล่าวก็แทบไม่มี peak ให้เห็นเลย ผลการทำลองดังกล่าวอาจจะเป็นหลักฐานสำคัญที่ชี้ให้เห็นได้ว่าพฤติกรรม PTCR ไม่จำเป็นต้องเกิดขึ้นต่อเมื่อวัสดุเปลี่ยนสมบัติจากเฟอร์โรอิเล็กทริกเป็นพาราอิเล็กทริกตามทฤษฎีของ Heywang^{1,2} และ Jonker^{3,6}